К статье: Дружинин В.С., Начапкин Н.И., Осипов В.Ю. – «Технология регионального изучения тектоники домезозойского мегакомплекса Приуральской области Западно-Сибирской платформы (на примере Урайской площади)»

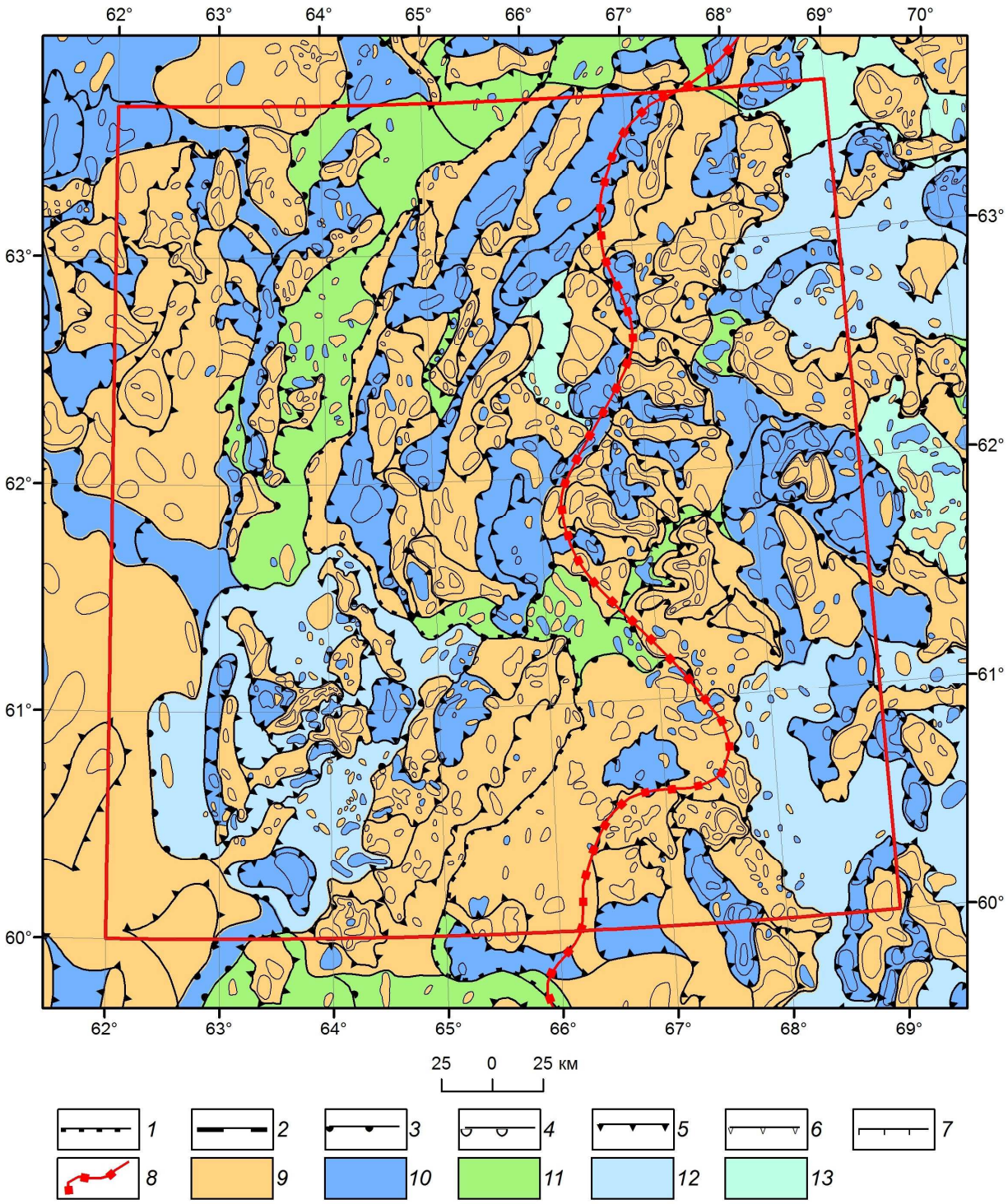


Рис. 1. Фрагмент тектонической карты мезозойско-кайнозойского осадочного чехла Западно-Сибирской геосинеклизы (ОАО "СибНАЦ", 2011).

Условные обозначения: границы структур (*1–7*): *1* – субрегиональных; *2* – надпорядковых; *3* – крупных I порядка; *4* – мелких и средних I порядка; *5* – крупных II порядка; *6* – мелких и средних II порядка; *7* – III и IV порядков; *8* – восточная граница собственно уралид, отделяющая ВУМЗ от древних срединных поднятий Ханты-Мансийско–Надымского и Северо-Казахстанского мегаблоков платформы; *9* – положительные структуры; *10* – отрицательные структуры; *11* – однокрылые структуры; *12* – мегаседловины; *13* – мезоседловины

К статье: Дружинин В.С., Начапкин Н.И., Осипов В.Ю. – «Технология регионального изучения тектоники домезозойского мегакомплекса Приуральской области Западно-Сибирской платформы (на примере Урайской площади)»

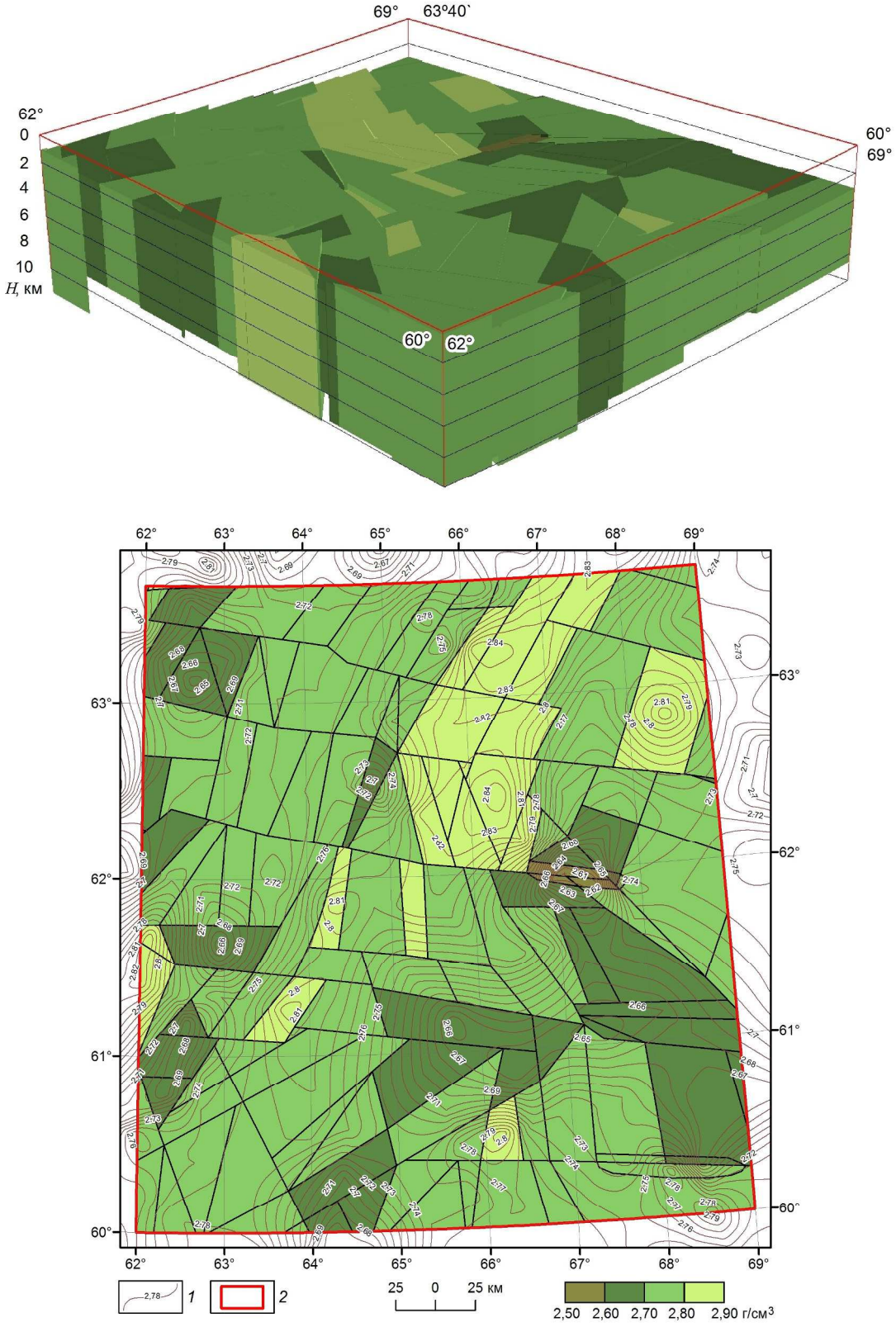


Рис. 2. Плотностная 3D модель слоя K_0–K_{01} Урайской площади.
Условные обозначения: *1* – изогипсы расчетной плотности блоков; *2* – контур Урайской площади

К статье: Дружинин В.С., Начапкин Н.И., Осипов В.Ю. – «Технология регионального изучения тектоники домезозойского мегакомплекса Приуральской области Западно-Сибирской платформы (на примере Урайской площади)»

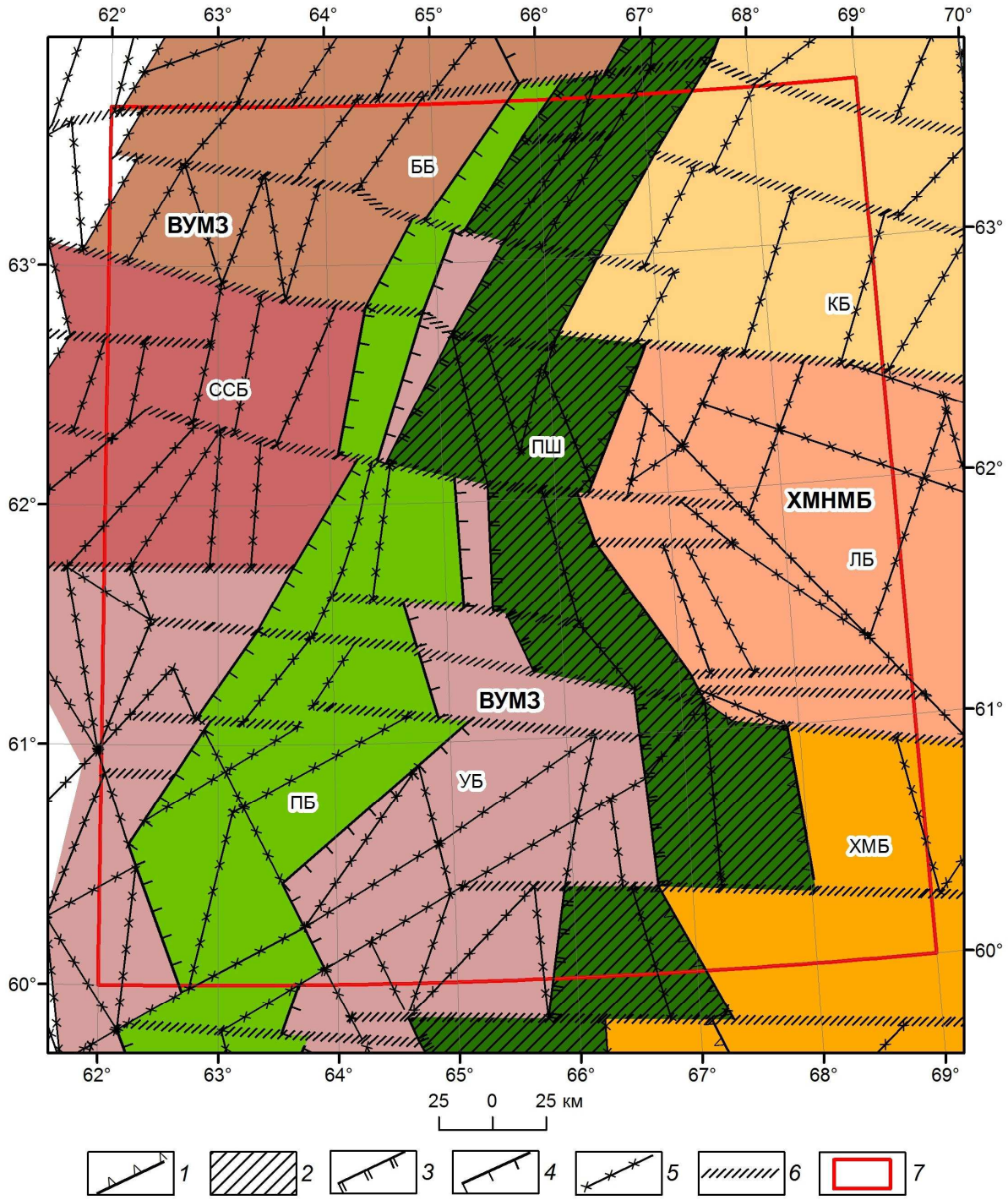


Рис. 3. Схема тектонического районирования домезозойского мегакомплекса Урайской площади.
Условные обозначения. Тектоническое районирование: *1* – западная граница Ханты-Мансийско–Надымского мегаблока (ХМНМБ) Западно-Сибирской платформы; *2* – пограничный шов, соответствующий Шеркалинскому прогибу осадочного чехла; *3* – восточная граница Восточно-Уральской мегазоны (ВУМЗ); *4* – контуры Пелымского прогиба ВУМЗ; *5* – границы подзон в пределах основных структур, соответствуют разломам; *6* – субширотные дислокации.
Районирование по блокам: ССБ – Северо-Сосьвинский; ПБ – Пелымский; УБ – Урайский; КБ – Казымский, Ляпинский блок; ХМБ – Ханты-Мансийский; ББ – Березовский; ПШ – пограничный шов; *7* – контур Урайской площади

К статье: Дружинин В.С., Начапкин Н.И., Осипов В.Ю. – «Технология регионального изучения тектоники домезозойского мегакомплекса Приуральской области Западно-Сибирской платформы (на примере Урайской площади)»

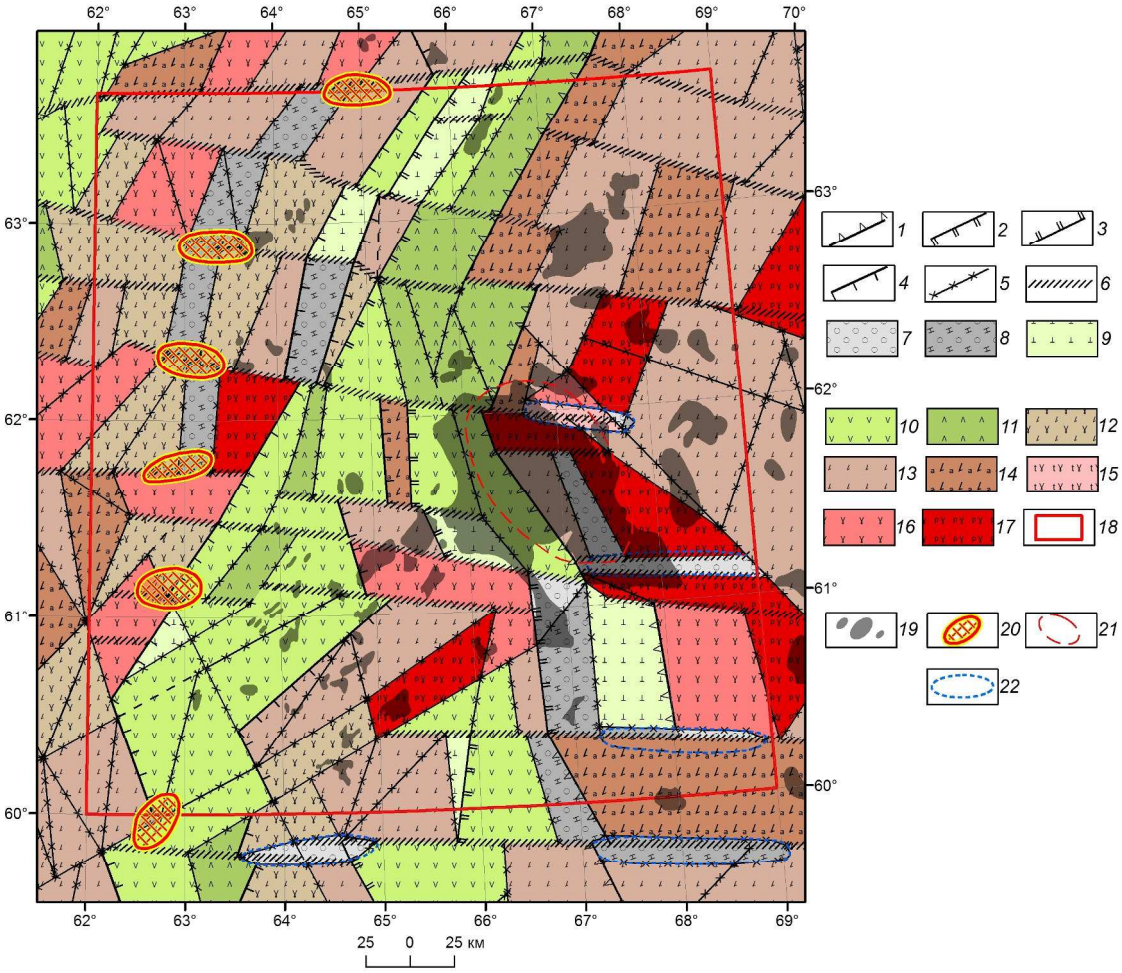


Рис. 4. Схема тектоники домезозойского мегакомплекса Урайской площади, совмещенная со схемой расположения месторождений углеводородов и схемой перспективных участков.

Тектоническое районирование: *1* – западная граница Ханты-Мансийско-Надымского мегаблока Западно-Сибирской платформы; *2* – пограничный шов, соответствующий Шеркалинскому прогибу осадочного чехла; *3* – западная граница Восточно-Уральской мегазоны (ВУМЗ); *4* – контуры Пелымского прогиба ВУМЗ; *5* – границы подзон в пределах основных структур, соответствуют разломам; *6* – субширотные дислокации.

Литологическое районирование выполнено в соответствии с расчетной разломно-блоковой плотностной моделью домезозойского основания и установлено типовой принадлежности блока. Осадочные комплексы: *7* – терригенные, значения плотности σ = 2,64–2,68 г/см^3; *8* – терригенно-карбонатные, σ = 2,69–– 2,76 г/см^3, карбонатные, σ = 2,74–2,78 г/см^3; **вулканические комплексы:** *9* – вулканиты кислого состава, σ = 2,65–2,75 г/см^3; *10* – вулканиты среднего состава, андезито-базальты, вулканогенно-осадочные породы, σ = 2,76–2,81 г/см^3; *11* – вулканиты основного состава, σ = 2,82–2,87 г/см^3; **метаморфические комплексы:** *12* – гранито-гнейсы, сланцы, σ = 2,65–2,79 г/см^3; *13* – гнейсы среднего состава, зеленые сланцы, σ = 2,70–2,79 г/см^3; *14* – гнейсы основного состава, гнейсо-амфиболиты, σ = 2,80–2,85 г/см^3, амфиболиты, σ = 2,86–2,89 г/см^3; **интрузивные комплексы:** *15* – лейкограниты, σ = 2,59–2,62 г/см^3; *16* – граниты, σ = 2,63–2,67 г/см^3; *17* – плагиограниты, гранодиориты, σ = 2,68–2,71 г/см^3; *18* – контур Урайской площади; *19* – положение месторождений нефти (Обзорная карта … , 1995); *20* – перспективные участки Восточно-Уральской мегазоны на поиски месторождений углеводородов в низах юрских толщ и нижерасположенных осадочных, вулканогенно-осадочных отложениях D–T, которые следует учитывать при выборе мест постановки детальных поисково-разведочных работ; *21* – предполагаемое положение глубинной флюидогеодинамической зоны; *22* – возможные зоны развития отложений промежуточного комплекса, представляющие интерес для поисков месторождений нефти.

Примечание: литологическая нагрузка, приведенная на схеме, соответствует значению плотности для всего домезозойского комплекса, мощность и ее вариации характеризует рис. 2 (цветная вкладка)

К статье: Федорова Н.В., Муравьев Л.А., Колмогорова В.В. – «Статистические оценки связи региональных магнитных аномалий с сейсмическими границами приполярного сектора Уральского региона»

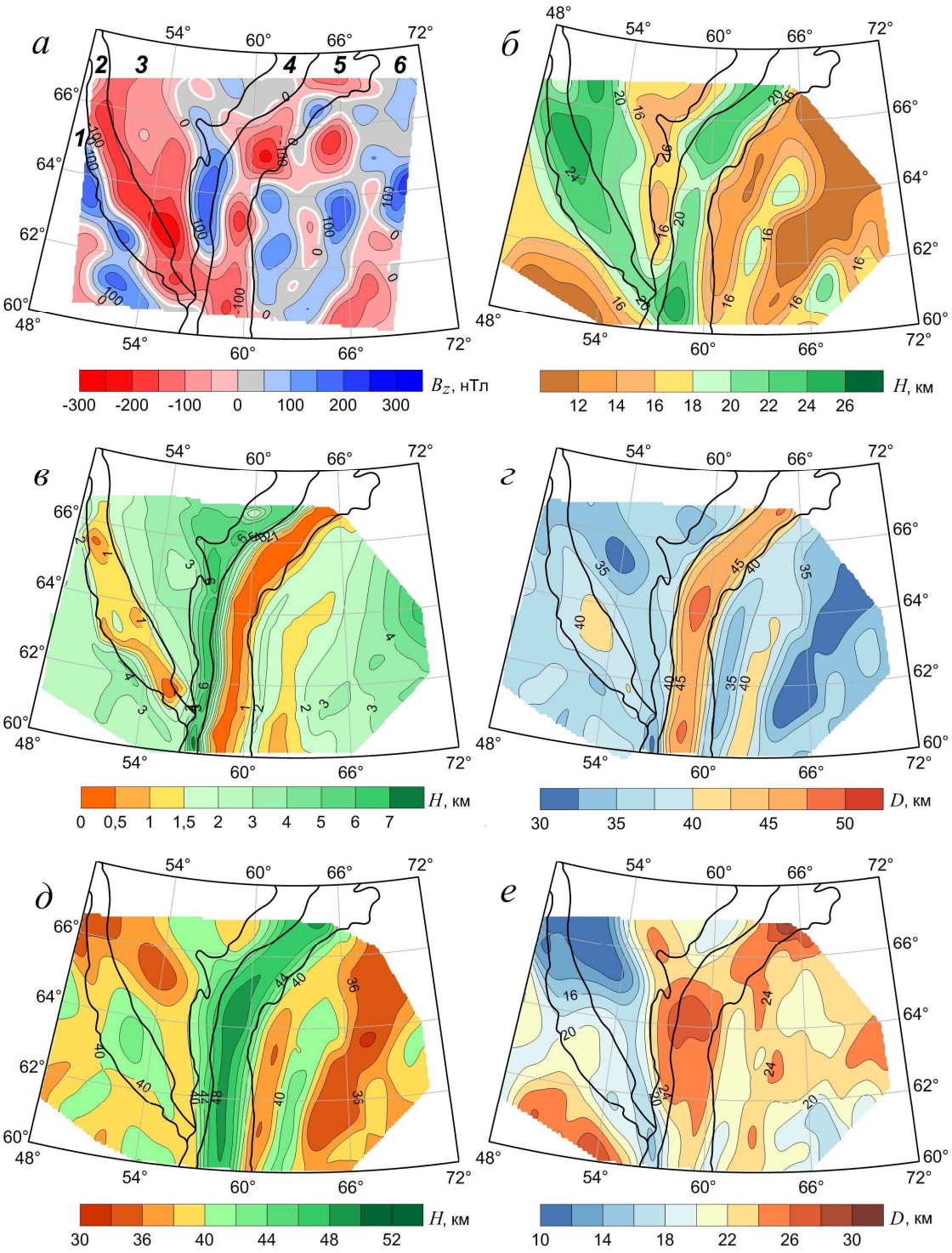


Рис. 1. Карты: вертикальная компонента региональных магнитных аномалий Z_v (*а*), поверхность базальтового слоя (*б*), поверхность фундамента (*в*), мощность консолидированной коры (*г*), граница Мохо (*д*), мощность базальтового слоя (*е*).

Обозначения участков: 1 – Восточно-Европейская платформа (ВЕП), 2 – Тиманское поднятие (ТП), 3 – Печорская плита (ПП), 4 – Предуральский краевой прогиб (ПКП), 5 – Уральская складчатая система (УСС), 6 – Западно-Сибирская плита (ЗСП)

К статье: Федорова Н.В., Носкевич В.В. – «Геофизические исследования курганов Неплюевского археологического комплекса (Южный Урал)»

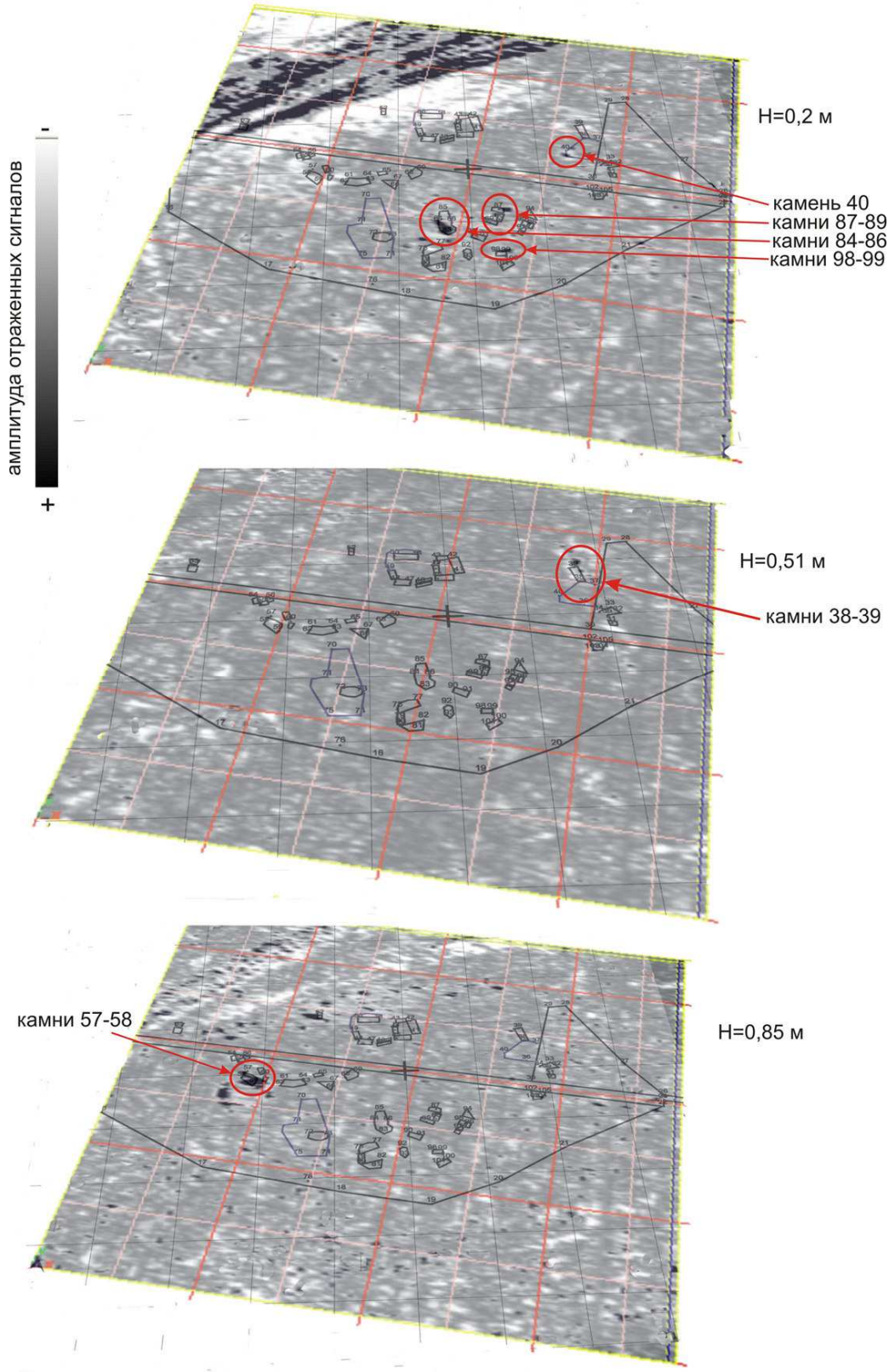


Рис. 6. Результаты интерпретации георадарной съемки на глубинах 0,2; 0,51 и 0,85 м